

实验 1 信号及系统基本特性分析

夏厚 PB18051031

1.1 实验目的

- 1、学习 Matlab 编程的基本方法；掌握常用函数用法。
- 2、了解不同信号的频域特性，理解时域特性与频域特性之间的关联性。
- 3、掌握典型信号序列的时域和频域基本特性。
- 4、熟悉理想采样的性质，了解信号采样前后的频谱变化，加深对采样定理解。
- 5、了解离散系统的时域/频域特性及其对输出信号的影响，掌握系统分析方法。

1.2 实验原理

1.3 实验内容

1.3.1 Matlab 操作与使用

1) 文件操作

```
>> load -ascii data.txt
错误使用 load
在当前文件夹或 MATLAB 路径中未找到 'data.txt'，但它位于：
E:\Desktop\MATLAB

更改 MATLAB 当前文件夹 或 将其文件夹添加到 MATLAB 路径。

>> cd 'E:\Desktop\MATLAB'
>> load -ascii data.txt
>> data
|
data =
```

520.0000	0.0975	0.1576	0.1419	0.6557
0.9058	0.2785	0.9706	0.4218	0.0357
0.1270	0.5469	0.9572	0.9157	0.8491
0.9134	0.9575	0.4854	0.7922	0.9340
0.6324	0.9649	0.8003	0.9595	0.6787

预先在路径文件夹下创建文本文件 data.txt。使用 load 从文件中读取数据。实验中文件路径报错，使用 cd 命令更改 Matlab 当前文件夹，成功打开 data.txt 文件。

使用命令>>save experiment.dat data -ascii，将刚刚读取的 data 存入 experiment.dat 文件中。打开文件夹，可以看到创建的 experiment.dat 文件。

|  experiment.dat 2020/11/17 10:49 DAT 文件 1 KB |

2) 矩阵运算

```

>> A=[1 2 3;4 5 6;7 8 9]
A =
    1     2     3
    4     5     6
    7     8     9

>> A*A
ans =
    30    36    42
    66    81    96
   102   126   150

>> A+A
ans =
    2     4     6
    8    10    12
   14    16    18

>> A'
ans =
    1     4     7
    2     5     8
    3     6     9

>> inv(A)
警告: 矩阵接近奇异值, 或者缩放错误。结果可能不准确。RCOND =  2.202823e-16。

ans =
1.0e+16 *
    0.3153   -0.6305   0.3153
   -0.6305   1.2610  -0.6305
    0.3153  -0.6305   0.3153

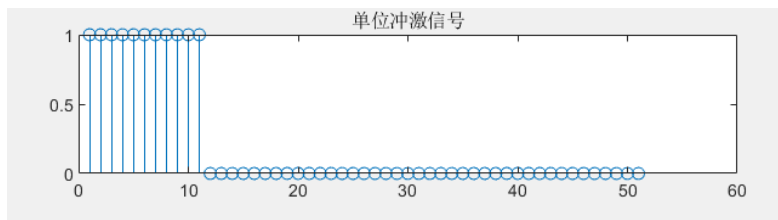
```

>>inv(A) 求矩阵的逆
>>A*A 矩阵乘法
>>A+A 矩阵加法
>>A' 矩阵转置

3) 绘图

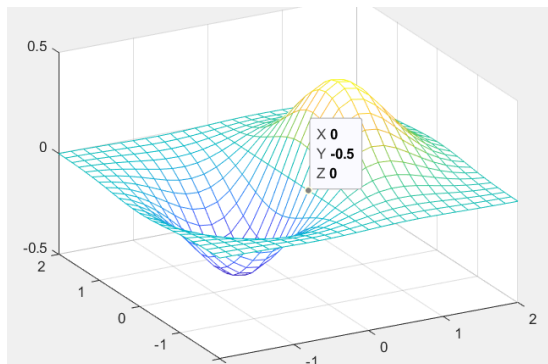
使用如下代码画出矩形序列

```
%矩形序列
x=sign(sign(10-n)+1);
subplot(3,1,1);stem(x);title('单位冲激信号');
```



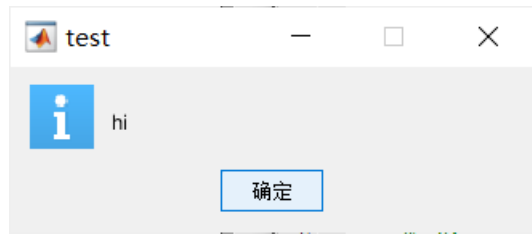
使用如下代码画出 3D 图形

```
x=linspace(-2, 2, 25); % 在x轴上取25点
y=linspace(-2, 2, 25); % 在y轴上取25点
[xx, yy]=meshgrid(x, y); % xx和yy都是21x21的矩阵
zz=xx.*exp(-xx.^2-yy.^2); % 计算函数值, zz也是21x21的矩阵
mesh(xx, yy, zz); % 画出立体网状图
```



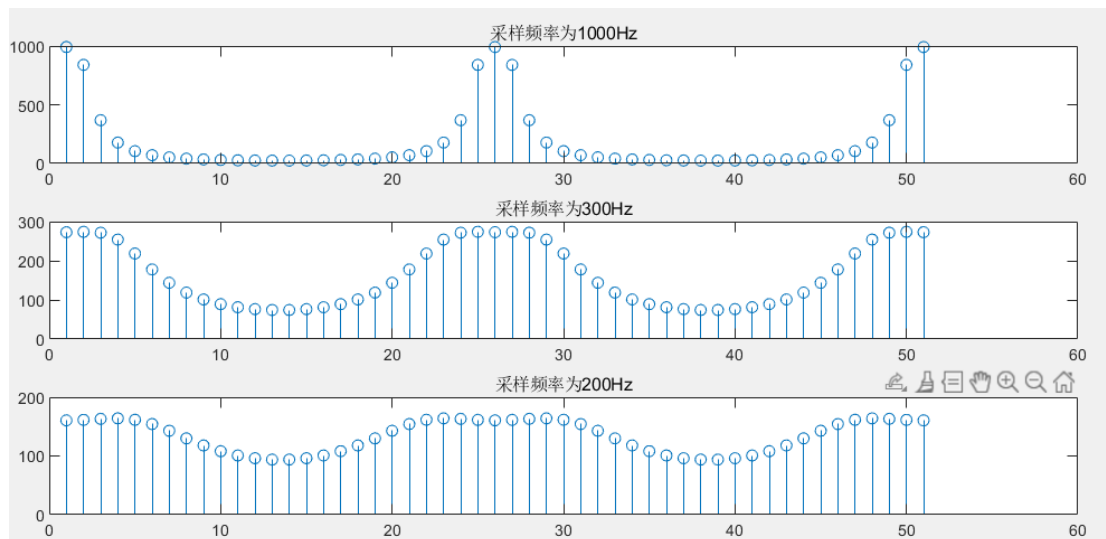
4) 图形界面实现

```
>> handle=helpdlg('hi','test')
```



1.3.2 理想采样信号序列的特性分析

```
%1.3.2 理想采样信号序列特性分析
n=0:50;
k=-25:25;
A=444.128;%幅度因子
a=50*sqrt(2.0)*pi;%衰减因子
w0=50*sqrt(2.0)*pi;%频率
T=1/1000;%采样周期
x=A*exp(-a*n*T).*sin(w0*n*T);
X=x*(exp(-j*pi/12.5)).^(n'*k);
magX=abs(X);
subplot(3,1,1);stem(magX);title('采样频率为1000Hz');
T=1/300;
x=A*exp(-a*n*T).*sin(w0*n*T);
X=x*(exp(-j*pi/12.5)).^(n'*k);
magX=abs(X);
subplot(3,1,2);stem(magX);title('采样频率为300Hz');
T=1/200;
x=A*exp(-a*n*T).*sin(w0*n*T);
X=x*(exp(-j*pi/12.5)).^(n'*k);
magX=abs(X);
subplot(3,1,3);stem(magX);title('采样频率为200Hz');
```



采样频率减小到 200Hz 时已经出现了明显频谱“混淆”现象。因为采样频率太小，频谱在频域的周期延拓较小，会导致频谱混叠，从而“混淆”。

1.3.3 典型信号序列的特性分析

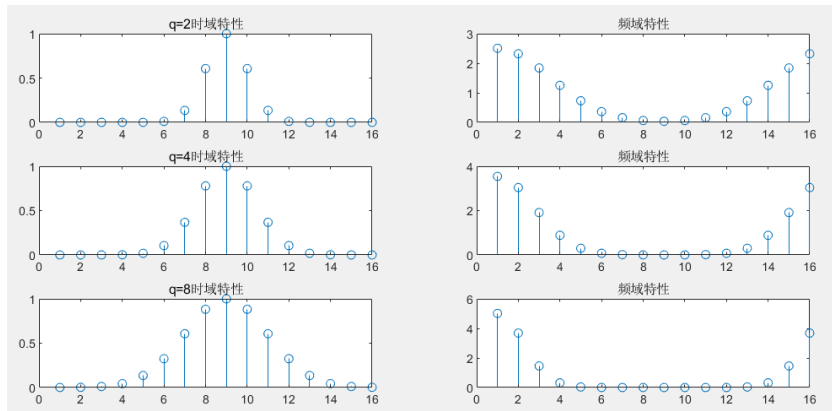
1.3.3.2 高斯序列的时域和频域特性

$$\text{高斯序列: } x_{aa}(n) = \begin{cases} e^{-\frac{(n-p)^2}{q}}, & 0 \leq n \leq 15 \\ 0, & \text{else} \end{cases}$$

1) 固定 $p=8$, 改变 q 的值, 使分别等于 2, 4, 8

%高斯序列

```
n=0:15;
p=8;q=2;x=exp(-1*(n-p).^2/q);
subplot(3, 2, 1);stem(x);title(' q=2时域特性');%时域
subplot(3, 2, 2);stem(abs(fft(x)));title(' 频域特性');%频域
p=8;q=4;x=exp(-1*(n-p).^2/q);
subplot(3, 2, 3);stem(x);title(' q=4时域特性');%时域
subplot(3, 2, 4);stem(abs(fft(x)));title(' 频域特性');%频域
p=8;q=8;x=exp(-1*(n-p).^2/q);
subplot(3, 2, 5);stem(x);title(' q=8时域特性');%时域
subplot(3, 2, 6);stem(abs(fft(x)));title(' 频域特性');%频域
```

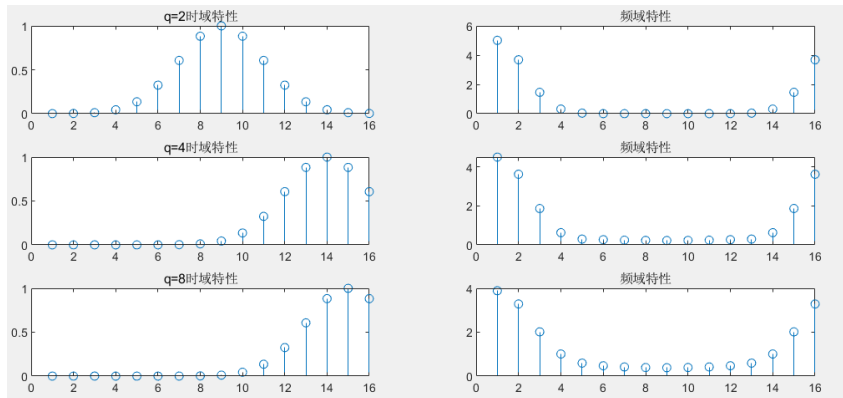


比较上图可知, p 一定时, q 增大, 高斯信号在时域波形展宽且变得平缓; 而频域波形变陡, 频谱分量减少。所以 q 决定了高斯信号的陡峭程度。

2) 固定 $q=8$, 改变 p 的值, 使分别等于 8, 13, 14

%高斯序列

```
n=0:15;
p=8;q=8;x=exp(-1*(n-p).^2/q);
subplot(3, 2, 1);stem(x);title(' q=2时域特性');%时域
subplot(3, 2, 2);stem(abs(fft(x)));title(' 频域特性');%频域
p=13;q=8;x=exp(-1*(n-p).^2/q);
subplot(3, 2, 3);stem(x);title(' q=4时域特性');%时域
subplot(3, 2, 4);stem(abs(fft(x)));title(' 频域特性');%频域
p=14;q=8;x=exp(-1*(n-p).^2/q);
subplot(3, 2, 5);stem(x);title(' q=8时域特性');%时域
subplot(3, 2, 6);stem(abs(fft(x)));title(' 频域特性');%频域
```



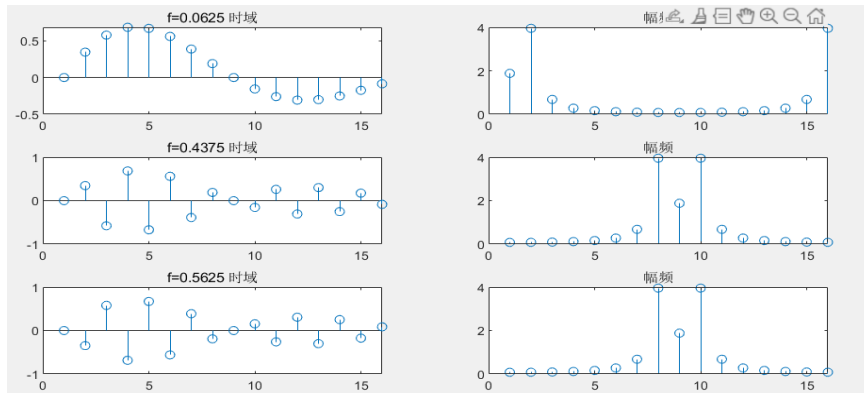
比较上图, q 不变时, p 的值决定了时域波形峰值的位置。当 p 增大时, 波形整体向右移动。 $P=13, 14$ 时已经发生了明显的泄漏现象。频域部分随 p 增大频率分量增加, 容易产生混叠。

1.3.3.3 衰减正弦序列的时域和幅频特性

$$\text{衰减正弦序列: } x_{bb}(n) = \begin{cases} e^{-an} \sin 2\pi f n, & 0 \leq n \leq 15 \\ 0, & \text{else} \end{cases}$$

令 $a=0.1$, $f=0.0625$, 改变 $f=0.4375$, 再改变 $f=0.5625$

```
%衰减正弦序列
n=0:15;
a=0.1;f=0.0625;x=exp(-a*n).*sin(2*pi*f*n);
subplot(3,2,1);stem(x);title('f=0.0625 时域');
subplot(3,2,2);stem(abs(fft(x)));title('幅频');
f=0.4375;x=exp(-a*n).*sin(2*pi*f*n);
subplot(3,2,3);stem(x);title('f=0.4375 时域');
subplot(3,2,4);stem(abs(fft(x)));title('幅频');
f=0.5625;x=exp(-a*n).*sin(2*pi*f*n);
subplot(3,2,5);stem(x);title('f=0.5625 时域');
subplot(3,2,6);stem(abs(fft(x)));title('幅频');
```



$f=0.0625$ 时频谱没有发生混叠, $f=0.5625$ 时频谱发生了混叠。因为 $0.4375+0.5625=1$, 出现镜像频率, 所以 $f=0.4375$ 和 $f=0.5625$ 的频谱图像完全相同。

1.3.3.4 三角波序列和反三角波序列的时域和幅频特性

$$\text{三角波序列: } x_{cc}(n) = \begin{cases} n+1, & 0 \leq n \leq 3 \\ 8-n, & 4 \leq n \leq 7 \\ 0, & \text{else} \end{cases}$$

$$\text{反三角序列: } x_{dd}(n) = \begin{cases} 4-n, & 0 \leq n \leq 3 \\ n-3, & 4 \leq n \leq 7 \\ 0, & \text{else} \end{cases}$$

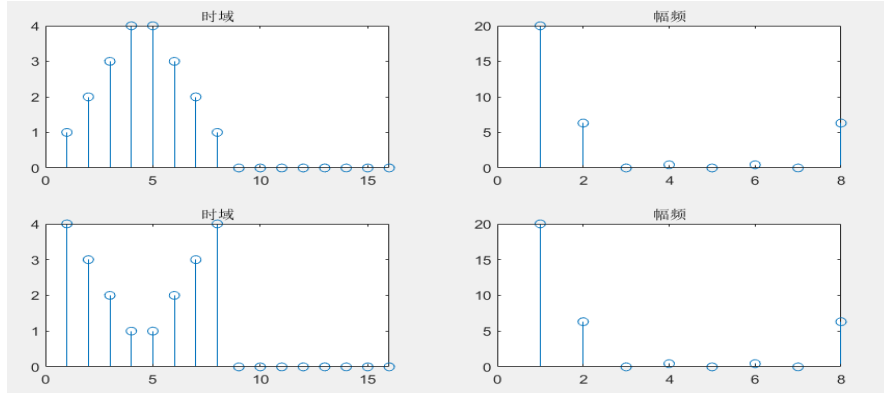
1) 8 点 FFT 分析信号 $X_{cc}(n)$ 和 $X_{dd}(n)$ 的幅频特性

```
i=1:8;
for i=1:4
    x(i)=i;
end
for i=5:8
    x(i)=9-i;
end
subplot(2,2,1);stem(x);title('时域');
subplot(2,2,2);stem(abs(fft(x,8)));title('幅频');
```

```

for i=1:4
    x(i)=5-i;
end
for i=5:8
    x(i)=i-4;
end
subplot(2, 2, 3); stem(x); title('时域');
subplot(2, 2, 4); stem(abs(fft(x, 8))); title('幅频');

```



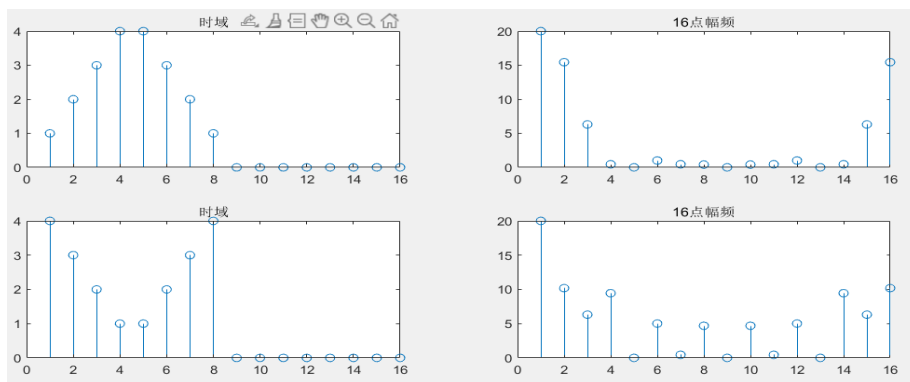
反三角波序列形状相当于三角波序列在 8 个点的圆周移位得到，所以它们的 8 点 FFT 频谱相同。

2) 在 $X_{cc}(n)$ 和 $X_{dd}(n)$ 末尾补零，用 16 点 FFT 分析这两个信号频谱

```

for i=1:4
    x(i)=i;
end
for i=5:8
    x(i)=9-i;
end
for i=9:16
    x(i)=0;
end
subplot(2, 2, 1); stem(x); title('时域');
subplot(2, 2, 2); stem(abs(fft(x, 16))); title('16点幅频');
for i=1:4
    x(i)=5-i;
end
for i=5:8
    x(i)=i-4;
end
for i=9:16
    x(i)=0;
end
subplot(2, 2, 3); stem(x); title('时域');
subplot(2, 2, 4); stem(abs(fft(x, 16))); title('16点幅频');

```



可以看到，两个信号的幅频特性不同了，因为当在信号后面补零并使用 16 点 FFT，三角波序列就不能看作是反三角波序列经过圆周移位得到的了，所以频谱也就不相同。

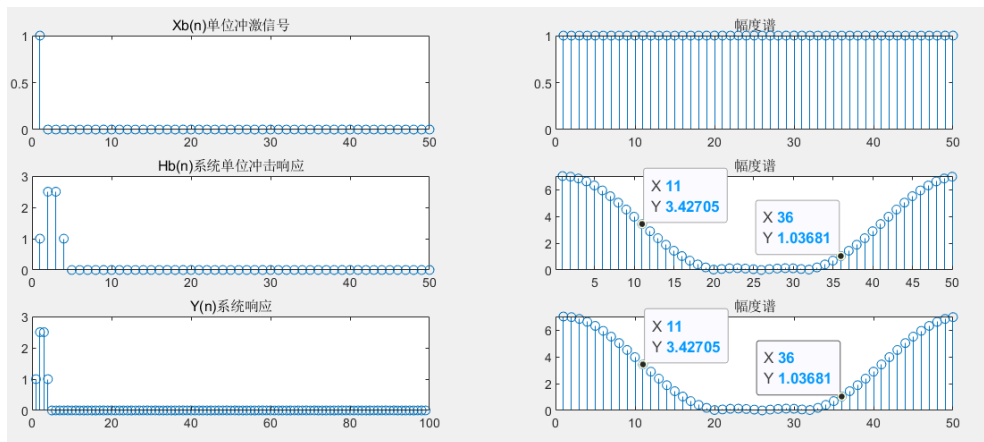
1.3.4 离散信号、系统和系统响应的分析

1.3.4.2 离散信号产生和系统分析

1) 观察信号 $X_b(n)$ 和系统 $H_b(n)$ 的时域和幅频特性

$$x_b(n) = \delta(n) = \begin{cases} 1, & n = 0 \\ 0, & n \neq 0 \end{cases} \quad h_b(n) = \delta(n) + 2.5\delta(n-1) + 2.5\delta(n-2) + \delta(n-3)$$

```
n=1:50;
xb=zeros(1, 50);
xb(1)=1;
subplot(3, 2, 1); stem(xb); title('Xb(n) 单位冲激信号');
subplot(3, 2, 2); stem(abs(fft(xb))); title('幅度谱');
%特定冲击串
n=1:50;
hb=zeros(1, 50);
hb(1)=1;hb(2)=2.5;hb(3)=2.5;hb(4)=1;
subplot(3, 2, 3); stem(hb); title('Hb(n) 系统单位冲击响应');
subplot(3, 2, 4); stem(abs(fft(hb))); title('幅度谱');
y=conv(xb, hb);%卷积函数
subplot(3, 2, 5); stem(y); title('Y(n) 系统响应');
subplot(3, 2, 6); stem(abs(fft(y, 50))); title('幅度谱');
```



$X_b(n)$ 是单位脉冲序列，幅频特性在全频域上都为 1，如上图，和理论相符。 $H_b(n)$ 是系统单位冲击响应，与单位脉冲卷积之后，按照卷积相关性质，结果得到的信号与 $H_b(n)$ 相同，如上图可见，系统响应在时域和频域特性都和 $H_b(n)$ 相同。由于线性卷积的原因，系统响应有 $50+50-1=99$ 个点，所以 $Y(n)$ 时域如上图。

2) 观察信号 $X_c(n)$ 和系统 $H_a(n)$ 的时域和幅频特性

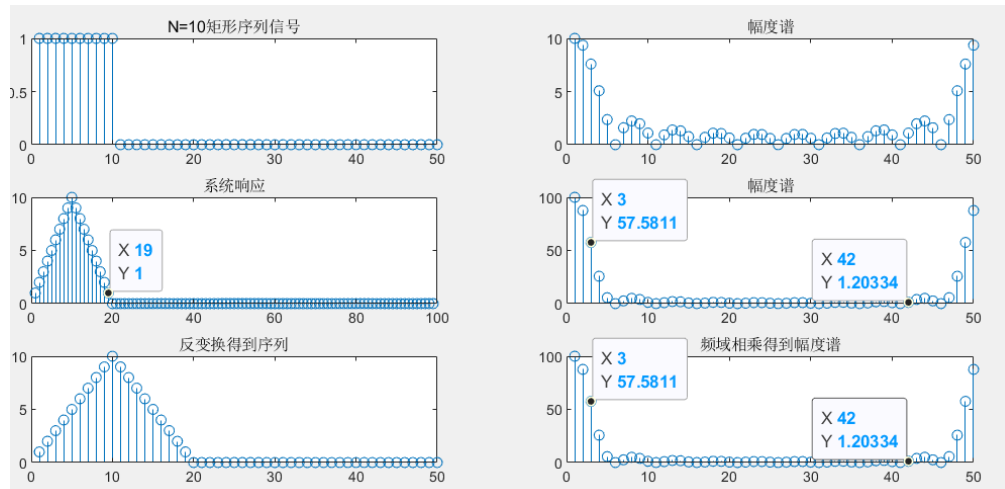
$$x_c(n) = R_N(n) = \begin{cases} 1, & 0 \leq n < N-1 \\ 0, & \text{其他} \end{cases}, \quad \text{其中 } N=10 \quad h_a(n) = R_{10}(n)$$

$$x_c(n) = h_a(n) = R_{10}(n)$$

```

n=1:50;
N=10;
xc=sign(sign(N-n)+1);
subplot(3, 2, 1);stem(xc);title(' N=10矩形序列信号');
subplot(3, 2, 2);stem(abs(fft(xc)));title(' 幅度谱');
ha=sign(sign(N-n)+1);
y=conv(xc, ha);%卷积函数
subplot(3, 2, 3);stem(y);title(' 系统响应');
subplot(3, 2, 4);stem(abs(fft(y, 50)));title(' 幅度谱');
Y=fft(xc).*fft(ha);%傅里叶变换的乘积
subplot(3, 2, 6);stem(abs(Y));title(' 频域相乘得到幅度谱');
subplot(3, 2, 5);stem(abs(ifft(Y)));title(' 反变换得到序列');

```



因为 $X_c(n)=H_a(n)$, 所以两者的时域和幅频特性应该相同。时域有 10 个非零值点, 幅频两极大值之间有 $10-2=8$ 个次峰。线性卷积之后得到的序列时域和幅频特性如上图, 因为矩形序列非零长度为 10, 所以卷积结果非零长度应该为 $10+10-1=19$, 可以看到实验结果与理论结果一致。并且卷积得到的序列应该是一个三角波, 峰值为 10, 正如图中结果所示, 所以响应序列图形是正确的。计算两个矩形序列傅里叶变换的乘积得到响应序列幅频特性, 与线性卷积得到的序列幅频特性相同, 并且反变换之后得到的响应序列也相同。

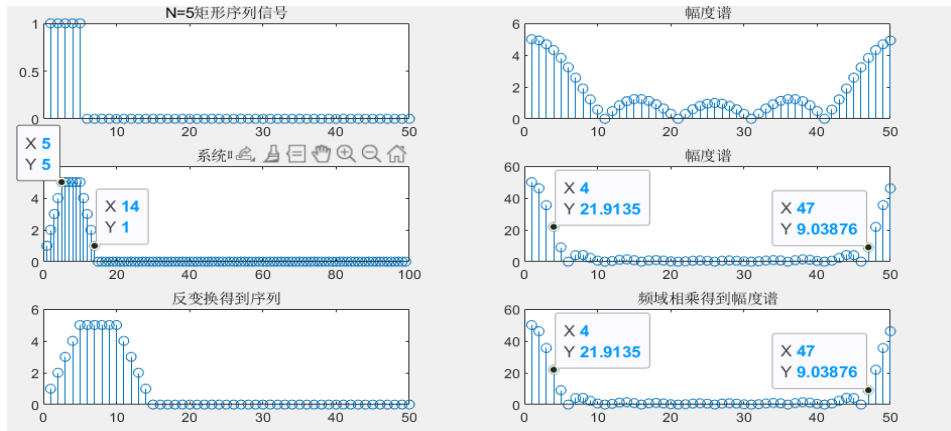
改变 $X_c(n)$ 的矩形宽度, 使 $N=5$

```

N=5;
xc=sign(sign(N-n)+1);
subplot(3, 2, 1);stem(xc);title(' N=5矩形序列信号');
subplot(3, 2, 2);stem(abs(fft(xc)));title(' 幅度谱');
ha=sign(sign(10-n)+1);
y=conv(xc, ha);%卷积函数
subplot(3, 2, 3);stem(y);title(' 系统响应');
subplot(3, 2, 4);stem(abs(fft(y, 50)));title(' 幅度谱');
Y=fft(xc).*fft(ha);%傅里叶变换的乘积
subplot(3, 2, 6);stem(abs(Y));title(' 频域相乘得到幅度谱');
subplot(3, 2, 5);stem(abs(ifft(Y)));title(' 反变换得到序列');

```

当 $X_c(n)$ 的矩形宽度变为 5 时, 时域有 5 个非零值点, 幅频特性两极大值之间有 $5-2=3$ 个次峰。卷积结果应该有 $10+5-1=14$ 个非零值点, 如下图, 与理论结果相符。两个长度不等的矩形波序列卷积得到的序列应该为梯形波序列, 如下图也和理论相符, 且极值为 5。两个傅里叶变换乘积得到的结果与直接线性卷积结果一致。



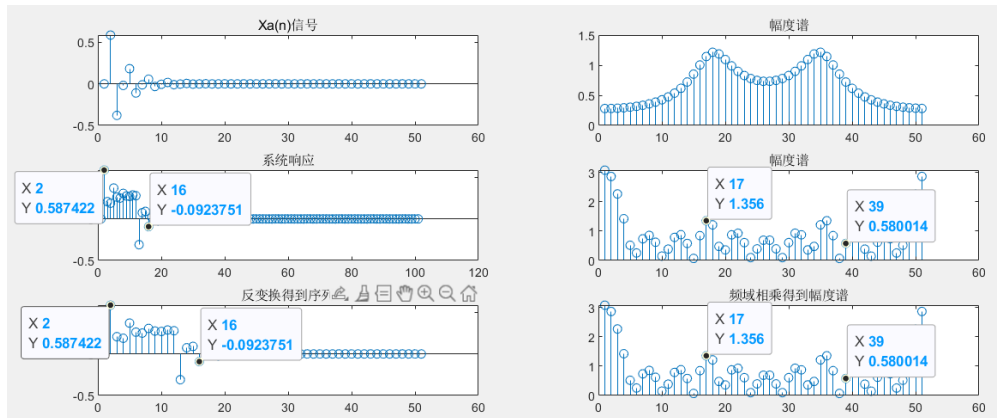
3) 信号 $X_a(n)$ 与 $H_a(n)$, 其中 $A=1$, $\alpha=0.4$, $\Omega_0=2.0734$, $T=1$ 。

$$x_a(t) = Ae^{-\alpha t} \sin(\Omega_0 n T), 0 \leq n < 50$$

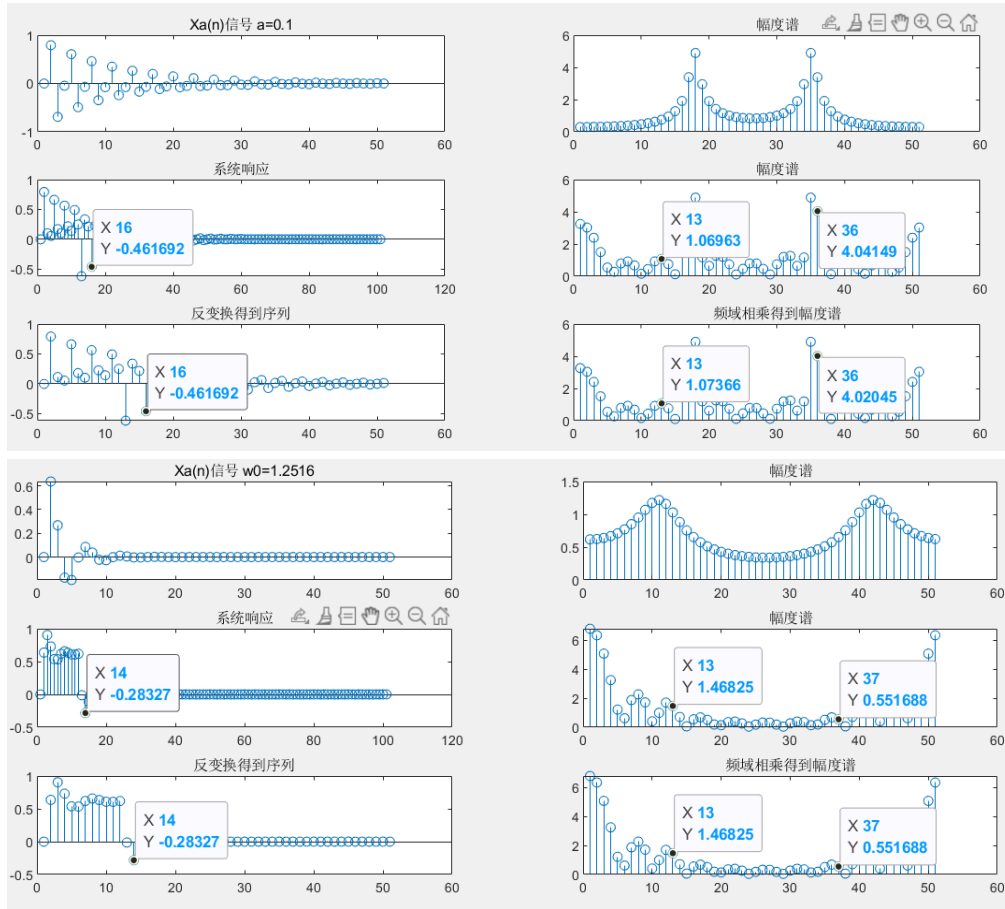
```
N=10;
n=0:50;
A=1;
a=0.4;
T=1;
w0=2.0734;
xa=A*exp(-a*n*T).*sin(w0*n*T);
subplot(3, 2, 1); stem(xa); title('Xa(n) 信号');
subplot(3, 2, 2); stem(abs(fft(xa))); title('幅度谱');
ha=sign(sign(N-n)+1);
y=conv(xa, ha); % 卷积函数
subplot(3, 2, 3); stem(y); title('系统响应');
subplot(3, 2, 4); stem(abs(fft(y, 51))); title('幅度谱'); % 傅里叶变换
Y=fft(xa).*fft(ha); % 频域相乘, 直接求Y(k)
subplot(3, 2, 6); stem(abs(Y)); title('频域相乘得到幅度谱'); % 验证卷积定理
subplot(3, 2, 5); stem(ifft(Y)); title('反变换得到序列');
```

依次改变 $\alpha=0.1$ 绘制图形如下

$\Omega_0=1.2516$ 绘制图形如下



$X_a(n)$ 信号与系统单位冲击序列线性卷积得到的结果, 与二者傅里叶变换乘积得到的结果幅频特性相同, 其中, 傅里叶乘积得到的结果反变换与线性卷积得到的序列也相同。



改变 $\alpha=0.1$ 时，衰减因子减小，信号 $X_a(n)$ 衰减速度相比原来有所减缓，幅频特性比原来的幅频特性各分量都要小，但峰值位置相同。此时线性卷积结果与傅里叶变换乘积得到的幅频特性有微小差异，这是因为衰减速度减缓，仍对于之前的 50 点截取，会在一定程度上产生频谱泄露，所以两个结果有微小不同。预计若采取更多点数截取，如 100 个点，上面二者结果在一定误差下会保持相同。

改变 $\Omega_0=1.2516$ ，改变了频率，相比原来 2.0734 减小了。从实验画出的信号时域序列也可以看到信号变化频率减小。观察幅频图，两个峰值位置向两端移动了一段距离，说明高频成分减小，低频成分增加，与频率减小的理论分析相符。由于并没有改变衰减因子，所以在现有的误差下，两信号线性卷积结果与傅里叶变换乘积结果相同。

1.3.4.3 卷积定理的验证

1.3.4.2 中已经进行了傅里叶变换相乘，直接得到系统响应幅频特性。比较直接线性卷积结果与傅里叶变换乘积结果，保持一致。对傅里叶变换乘积结果进行反变换，得到的序列也与线性卷积得到的序列相同。验证了卷积定理。

总结 MatLab 进行数字信号处理实验项目时常用的函数及其功能：

- 1) `stem(x)`函数用于绘制针状图，将需要绘制的数据存放在一个数组中，然后将这个数组作为参数传递给“`stem`”函数。
- 2) `subplot(x,y,z)`函数用来同时画出数个小图形，并且存放在一个视窗之中， x 是小图形的行数， y 是小图形的列数， z 是小图形的编号。
- 3) `figure` 用来保持输出上一个画图窗口，因为若不使用这个命令，每当新输出一个画图窗口都会覆盖之前的画图窗口。

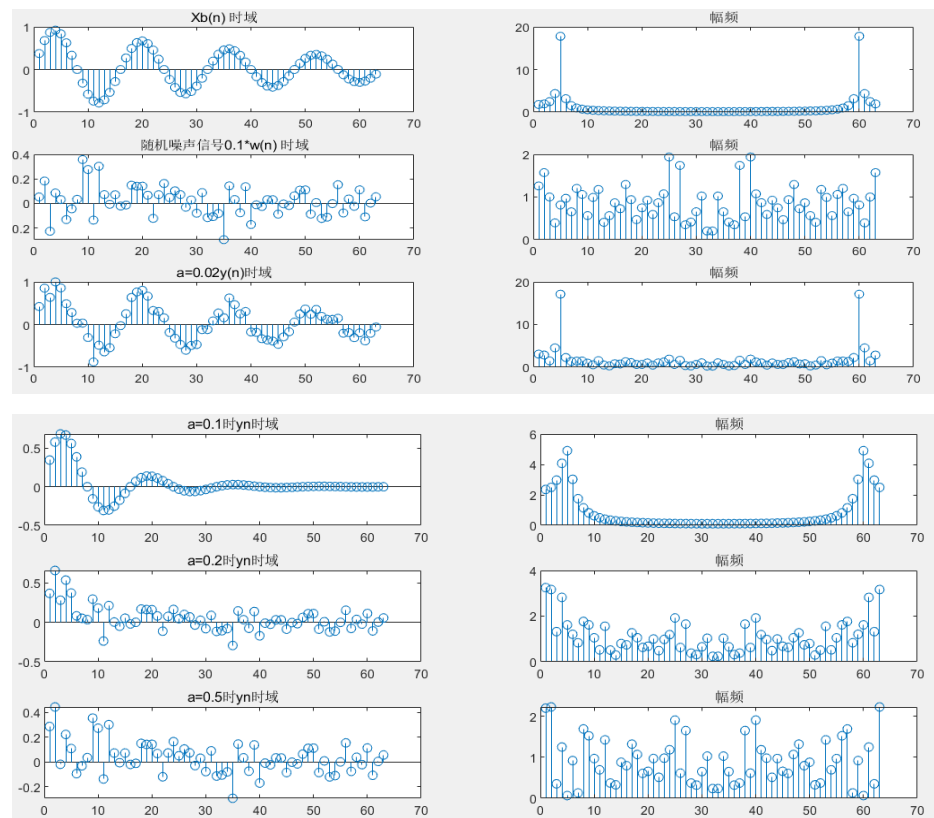
- 4) title("标题")用来设置图形的标题，跟在绘图函数后面使用。
- 5) fft(x,m)用来计算 x 的离散傅里叶变换，参数 m 可以用来指定具体做多少个点的 fft。
- 6) abs(x)返回数组 x 中每个元素的绝对值。
- 7) conv(x,y)卷积函数，返回 x 与 y 的卷积。
- 8) sign(x)符号函数，返回与 x 大小相同的数组，其中对 x 中的每个元素取符号。
- 9) zeros()创建全零的数组。
- 10) angle(x)返回 x 中每个元素在 $[-\pi, \pi]$ 中的相位角。

1.3.3.5 选做

将 $xb(n)$ 信号的长度 N 设为 63，用 MatLab 中 randn(1,N) 函数产生一个噪声信号 $w(n)$ ，计算将这个噪声信号叠加到 $xb(n)$ 上以后新信号 $y(n) = xb(n) + w(n)$ 的频谱。

- 1) 固定 $f=0.0625$. 改变 a 使分别等于 0.02, 0.1, 0.2, 0.5。

```
n=1:63;
a=0.02;f=0.0625;xb=exp(-a*n).*sin(2*pi*f*n);
wn=randn(1, 63);
yn=xb+0.1*wn;
subplot(3, 2, 1);stem(xb);title('Xb(n) 时域');
subplot(3, 2, 2);stem(abs(fft(xb)));title('幅频');
subplot(3, 2, 5);stem(yn);title('a=0.02y(n) 时域');
subplot(3, 2, 6);stem(abs(fft(yn)));title('幅频');
subplot(3, 2, 3);stem(0.1*wn);title('随机噪声信号0.1*w(n) 时域');
subplot(3, 2, 4);stem(abs(fft(0.1*wn)));title('幅频');
```



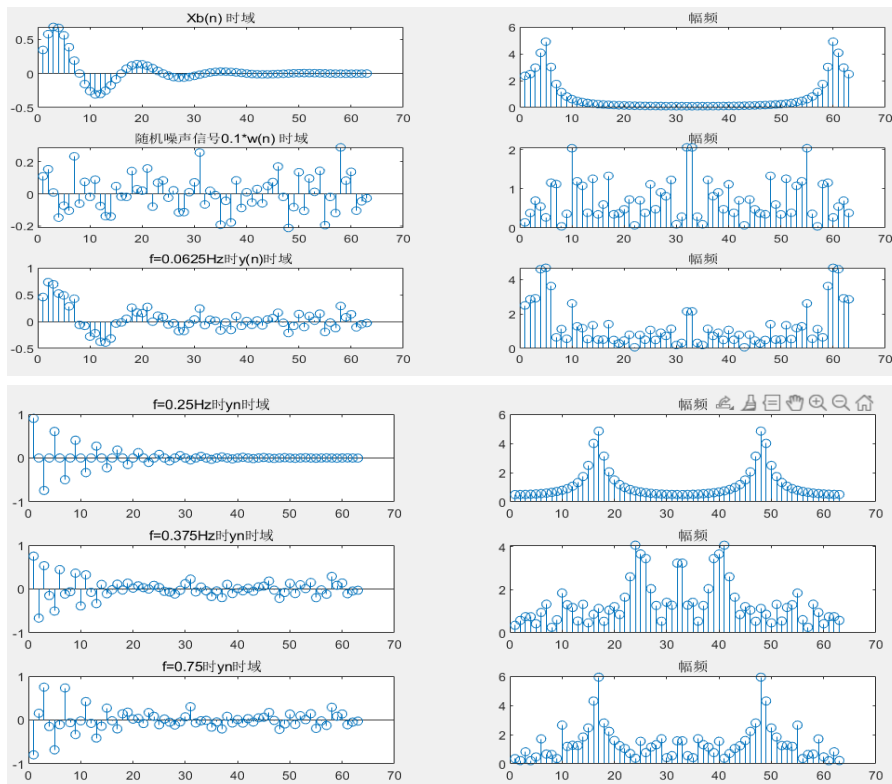
由于噪声序列为高斯白噪声，均值为 0，方差为 1，所以以上将噪声序列加权 0.1。

衰减因子 a 较小的时候，序列衰减较慢，频谱峰值位于两端，中间接近于零，高频分量占比小，不易产生混淆。所以加入噪声之后的频谱基本上保持原样。 a 较大时，原信号很快衰减

趋于 0，此时叠加的噪声信号会带来额外的高频分量。且噪声序列由于截取有限长度，频谱会产生泄漏。

2) 固定 $a=0.1$ ，改变 f 的值，使之分别等于 0.0625, 0.25, 0.375, 0.75。

```
figure;
a=0.1;f=0.25;xb=exp(-a*n).*sin(2*pi*f*n);
yn=xb+0.1*wn;
subplot(3, 2, 1);stem(xb);title(' f=0.25Hz时yn时域');
subplot(3, 2, 2);stem(abs(fft(xb)));title(' 帧频');
a=0.1;f=0.375;xb=exp(-a*n).*sin(2*pi*f*n);
yn=xb+0.1*wn;
subplot(3, 2, 3);stem(yn);title(' f=0.375Hz时yn时域');
subplot(3, 2, 4);stem(abs(fft(yn)));title(' 帧频');
a=0.1;f=0.75;xb=exp(-a*n).*sin(2*pi*f*n);
yn=xb+0.1*wn;
subplot(3, 2, 5);stem(yn);title(' f=0.75Hz时yn时域');
subplot(3, 2, 6);stem(abs(fft(yn)));title(' 帧频');
```

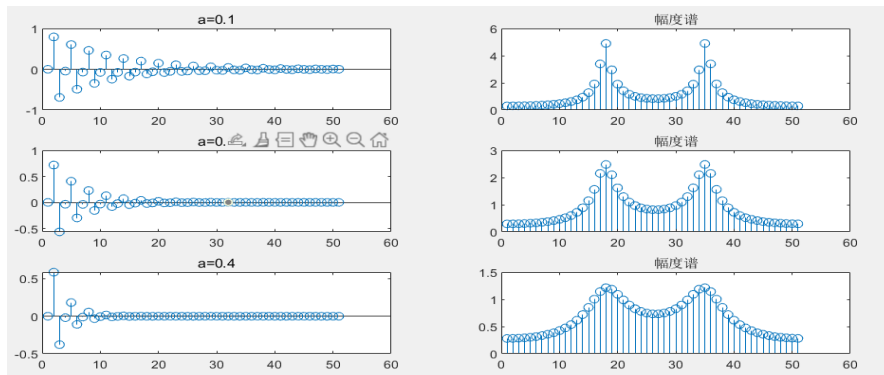


固定衰减因子不变，频率较小时，可以看到频域波峰位于两端，说明低频成分占比多。加入噪声信号后，频谱高频成分有所增加。F 越大，频谱波峰位置越靠近中央，混叠更易发生，同时带有泄漏。F 越大，现象越明显。

1.3.5 选做

1) 改变信号 $X_a(n)$ 的衰减因子，分别等于 0.1, 0.2, 0.4。

因为没有改变频率 f ，所以频谱波峰位置不会改变。由于衰减因子增大，信号序列衰减的越来越快，所以频谱的高频成分占比变大。由绘制的频谱图可以看到，波峰位置相同，中央高频占比逐渐增大。符合预期估计。

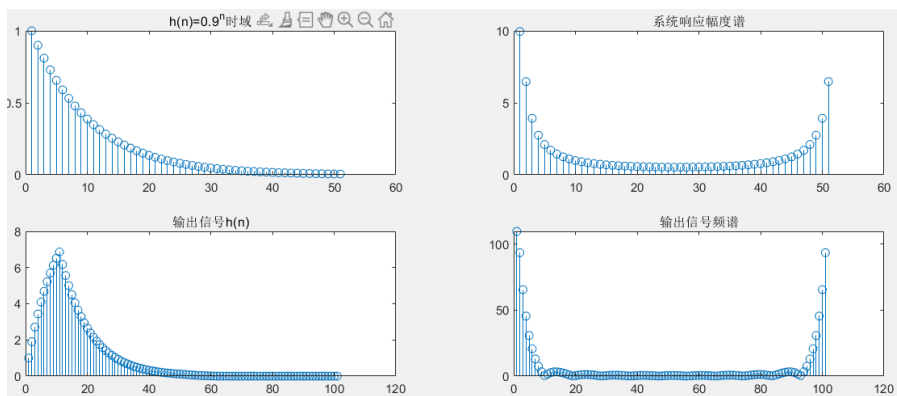


2) LTI 系统冲激响应为 $h(n) = (0.9)^n \cdot u(n)$, 输入序列为 $X_c(n)$ 。

```

n=0:50;
N=10;
xc=sign(sign(N-n)+1);
h=(0.9).^n;
subplot(2,2,1);stem(h);title('h(n)=(0.9)^n时域');
subplot(2,2,2);stem(abs(fft(h)));title('系统响应幅度谱');
y=conv(xc,h);%卷积函数
subplot(2,2,3);stem(abs(y));title('输出信号h(n)');
subplot(2,2,4);stem(abs(fft(y)));title('输出信号频谱');

```



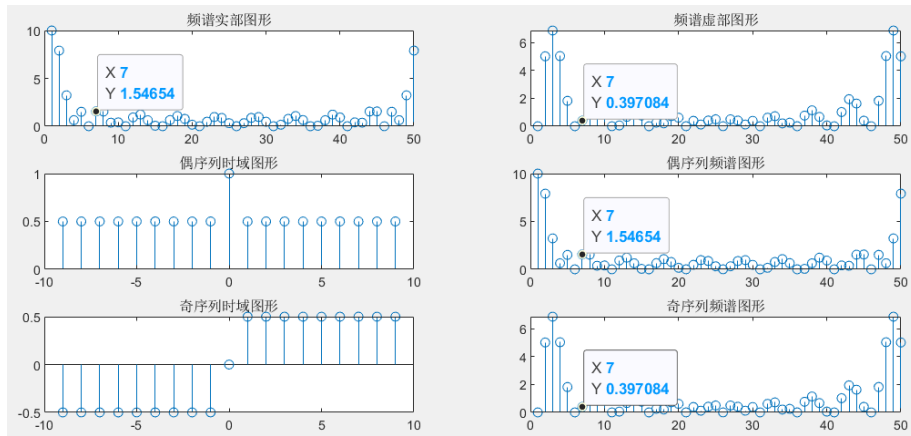
$H(n)=X_c(n)$ 时, 已在前面讨论过。

3) 将序列 $X_c(n)$ 分为奇偶序列

```

n=-9:9;
N=10;
x1=sign(sign(-n)+1);
x2=sign(sign(n)+1);
xce=0.5*(x1+x2);
xco=0.5*(x2-x1);
m=0:9;
xc=sign(sign(10-m)+1);
subplot(3,2,1);stem(abs(real(fft(xc,50))));title('频谱实部图形');
subplot(3,2,2);stem(abs(imag(fft(xc,50))));title('频谱虚部图形');
subplot(3,2,3);stem(n,xce);title('偶序列时域图形');
subplot(3,2,5);stem(n,xco);title('奇序列时域图形');
subplot(3,2,4);stem(abs(fft(xce,50)));title('偶序列频谱图形');
subplot(3,2,6);stem(abs(fft(xco,50)));title('奇序列频谱图形');

```



从绘图可以看到, $X_c(n)$ 的偶序列频域特性和 $X_c(n)$ 的频域实部特性相同, 而 $X_c(n)$ 的奇序列频域特性和 $X_n(n)$ 的频域虚部特性相同。这与理论结果一致, 实信号偶分量变换对应频域实部, 奇分量变换对应频域虚部。